

# مجله علمی پژوهشی مکانیک سازه‌ها و شاره‌ها

DOI: 10.22044/jsfm.2017.5343.2313

## ارزیابی تغییرات تنش پسماند طولی در راستای ضخامت در اتصال جوشی آلیاژ آلمینیوم ۵۰۸۶

محمد افتخاری<sup>۱</sup>, مهدی احمدی نجف آبادی<sup>۲</sup> و محمدرضا فراهانی<sup>\*۳</sup><sup>۱</sup> دانشجوی دکترا، مهندسی مکانیک، پردیس دانشکده های فنی، دانشگاه تهران، تهران<sup>۲</sup> دانشیار، مهندسی مکانیک، دانشگاه صنعتی امیرکبیر، تهران<sup>۳</sup> دانشیار، مهندسی مکانیک، پردیس دانشکده های فنی، دانشگاه تهران، تهران

مقاله مستقل، تاریخ دریافت: ۱۳۹۵/۱۱/۰۶؛ تاریخ بازنگری: ۱۳۹۵/۱۲/۲۲؛ تاریخ پذیرش: ۱۳۹۶/۰۶/۱۱

### چکیده

تنش‌های پسماند جوشی، بدویژه نوع طولی آن، نقشی اساسی در خستگی و شکست سازه‌ها دارند. عمدۀ روش‌های اندازه‌گیری تنش-پسماند، دارای یک محدودیت بزرگ هستند که قابلیت اندازه‌گیری تنش‌پسماند در عمق قطعه را ندارند. در این پژوهش، از تلفیق روش شبیه‌سازی المان محدود و روش تجربی پراش پرتو ایکس بهمنظور ارزیابی تنش پسماند در عمق قطعه استفاده شد. تنش‌های پسماند جوش‌کاری تیگِ دو ورق به ضخامت ۸ میلی‌متر و از جنس آلیاژ آلمینیوم سری ۵۰۸۶، بهصورت تحلیل با استفاده از نرم‌افزار آباکوس، بهصورت تجربی توسط روش پراش پرتو ایکس در سطح قطعه صحه‌سنجه شدند. مشاهده گردید که در خط مرکزی جوش، با افزایش عمق، تنش‌های پسماند طولی تا ۳۷ مگاپاسکال، کاهش و در ناحیه متأثر از حرارت و در فاصله ۱۰ تا ۲۵ میلی‌متری از خط مرکزی جوش، نیز تا ۷۰ مگا پاسکال کاهش می‌یابد. در نقاط دورتر، همزمان با کاهش تنش‌های پسماند طولی، تنش‌های فشاری در عمق قطعه-کار ایجاد می‌شود. ادعا می‌شود که با توجه به چشم‌گیر بودن تغییرات تنش‌های پسماند در عمق قطعه، برای انجام تحلیل‌های دقیق‌تر، محاسبه تنش‌های پسماند در عمق قطعه ضروری است.

**کلمات کلیدی:** تنش پسماند جوش‌کاری؛ مدل‌سازی اجزای محدود؛ روش پراش پرتو ایکس؛ آلیاژ آلمینیوم سری ۵۰۸۶

## Evaluation of Longitudinal Residual Stress Variations Along the Thickness of Welded Joint of 5086 Aluminum Alloy

M. Eftekhari<sup>1</sup>, M. Ahmadi Najafabadi<sup>2</sup>, M. Farahani<sup>3,\*</sup><sup>1</sup> Ph.D. Student, School of Mechanical Engineering, College of Engineering, University of Tehran, Tehran, Iran.<sup>2</sup> Assoc. Prof., Department of Mechanical Engineering, Amirkabir University, Tehran, Iran.<sup>2</sup> Assoc. Prof., School of Mechanical Engineering, College of Engineering, University of Tehran, Tehran, Iran.

### Abstract

Welding residual stresses, especially longitudinal ones, have a significant role in the fatigue and fracture of the structures. The common residual stress measurement methods have an important restriction that they are incapable in measuring the residual stresses versus depth. In this study, the combination of FEM simulation and X-ray diffraction experimental method has been used for residual stress measurement along specimen depth. Residual stresses were induced by the TIG welding of two 5086 aluminum plates with a thickness of 8 mm. The welding process was simulated in Abaqus and then the simulation results were validated with X-ray diffraction ones. It was observed that in weld centerline, by increasing depth, maximum longitudinal residual stresses decreased by 37 MPa while this reduction in heat affected zone and in the distance of 10 to 25 mm from the weld centerline was 70 MPa. At farther points from the weld centerline, the longitudinal residual stresses decreased and the compressive residual stresses were formed in the specimen depths. With respect to significant variation of residual stress along the depths of the specimen, residual stress measurement along specimen depths seems to be necessary for performing accurate analysis.

**Keywords:** Welding Residual Stress; Finite Element Analysis; X-Ray Diffraction Method; 5086 Aluminum Alloy.

\* نویسنده مسئول؛ تلفن: ۰۲۱۸۸۳۵۳۸۹۳؛ فکس: ۰۲۱۸۸۰۱۳۰۲۹

آدرس پست الکترونیک: mrfarahani@ut.ac.ir

## ۱- مقدمه

امروزه شبیه‌سازی فرآیندهای تولید و اتصال، تبدیل به ابزاری اقتصادی و سودمند برای پیش‌بینی رفتار قطعاتی شده است که تحت بارهای حرارتی، استاتیکی و دینامیکی قرار داردند و امکان برآورده میزان تنش پسماند پس از انجام فرآیند را نیز مهیا نموده است. از اوایل دهه ۱۹۷۰، از ابزار شبیه‌سازی المان محدود، در امر جوش‌کاری استفاده شد. تعدادی از معروف‌ترین کارهایی که در این زمینه، تا اوایل سال ۱۹۹۰ انجام شدند، حاصل کار افرادی چون یدا و یاماکاوا [۱] و گلداک و همکاران [۲] است. برخی از محققان از مدل دو بعدی متقارن، برای شبیه‌سازی استفاده کرده‌اند؛ برای مثال چنین ساده‌سازی‌هایی در کار یاجیانگ و همکاران [۳] قابل مشاهده است؛ آن‌ها تنش‌های پسماند در جوشکاری فولادهای با استحکام بالا را با استفاده از روش المان محدود بدست آورده‌اند. این محققان در این کار از یک مدل دو بعدی متقارن کرنش صفحه‌ای<sup>۱</sup> برای شبیه‌سازی جوش‌کاری دو ورق به صورت لب‌به‌لب استفاده کرده‌اند. هدف از این ساده‌سازی‌ها، کاهش وقت و هزینه استفاده از مدل‌های سه‌بعدی بود. با وجود اینکه مدل‌های دو بعدی در پیش‌بینی تنش‌های پسماند، نتایج قابل قبولی ارائه دادند؛ ولی این مدل‌ها در تعیین تغییرشکل‌های سه‌بعدی قطعه مناسب نبودند.

خواص ماده جوش‌کاری شده در کار محققانی چون سونگ و همکاران [۴]، به صورت الاستو-ویسکوپلاستیک<sup>۲</sup> مدل شده است و در کار افرادی دیگر مانند برنز و همکاران [۵]، سخت‌شوندگی همگن<sup>۳</sup> نیز در نظر گرفته شده است. در کار دیگری از ناندان و همکاران [۶]، خواص مواد به صورت الاستو-ویسکوپلاستیک<sup>۴</sup> شبیه‌سازی شده است. آبرگ و برگلاند [۷]، پیرامون بحث خواص مواد، مدل‌های پلاستیک و ویسکو-پلاستیک را در شبیه‌سازی جوش با هم مقایسه کرد و استفاده از مدل‌های ساده پلاستیک را در مراحل مقدماتی، توصیه نمود، ولی مسلم است که در دماهای بالا مثل جوش‌کاری، ویسکوزیته تأثیر مهمی روی رفتار فلز دارد؛ بنابراین دلیل استفاده از مدل‌های ساده‌تر مثل الاستو-

پلاستیک<sup>۵</sup>، صرفه‌جویی در هزینه و وقت شبیه‌سازی است. فریک و همکاران [۸]، تنش‌های پسماند در دو لوله از جنس فولاد زنگ نزن آستینیتی که به صورت لب‌به‌لب جوش‌کاری شده بودند، را با استفاده از روش المان محدود شبیه‌سازی کردند. آن‌ها برای شبیه‌سازی تنش از فرض رفتار الاستو-پلاستیک استفاده کردند و به نتایج خوبی رسیدند.

در برخی از مقالات، به خصوص در مقالات پیشین، تغییرات فازی در حین جوش‌کاری نادیده گرفته شده است و این خود بسته به نوع فاز به وجود آمده، مقدار خطای معنی‌ایجاد می‌کند؛ برای مثال مایلی و همکاران [۹]، تنش‌پسماند جوشی را در فولادهای با استحکام بالا اندازه گرفتند و به این نتیجه رسیدند که تغییرات فازی (استحاله مارتزیتی) در فولادهای آلیاژی و با استحکام، موجب کاهش مقدار تنش‌های پسماند می‌شود.

در طول سال‌های متمادی، محققان از مدل‌های مختلفی برای شبیه‌سازی منبع حرارتی متحرک جوش‌کاری استفاده نموده‌اند؛ مانند مدل رزنتمال<sup>۶</sup> که در آن پروفیل دمایی و سیستم مختصات همراه با منبع حرارتی حرکت می‌کند و یا مانند مدل پاوالک<sup>۷</sup> که در آن منبع حرارتی به صورت دیسک دایره‌ای با توزیع گوسی شار حرارتی، روی قطعه مدل می‌شود [۱۰]؛ ولی دو مدل معتبری که امروزه بیشترین کاربرد را در پژوهش‌ها دارد، عبارت است از مدل گلداک<sup>۸</sup> که در آن منبع حرارتی به صورت دو بیضی‌گون متحرک مدل می‌شود و در کار محققانی مانند فچینوتی و همکاران [۱۱] استفاده گردیده است و مدل دیگر، شامل اعمال یک شار حرارتی حجمی به صورت یکنواخت بین المان‌های جوش است که در پژوهش حاضر و مقالاتی مانند شوحن و همکاران [۱۲]، مورد استفاده قرار گرفته است. اگرچه در هر دو مدل گلداک و شار توزیع شده یکنواخت، میدان دمایی وابسته به زمان متفاوتی وجود دارد؛ ولی این اختلاف به طور قابل توجهی در ریشه<sup>۹</sup> جوش وجود دارد و با فاصله گرفتن از ناحیه جوش به سرعت از بین می‌رود. مقدار تنش پسماند بدست آمده از روش شار

<sup>5</sup> Elastoplastic  
<sup>6</sup> Rosenthal  
<sup>7</sup> Pavalec  
<sup>8</sup> Goldak  
<sup>9</sup> Root

<sup>۱</sup> Plane strain  
<sup>۲</sup> Viscose  
<sup>۳</sup> Isotropic Hardening  
<sup>۴</sup> Elasto Viscoplastic

تنش‌های پسماند عرضی است [۱۶]. تنش‌های پسماند طولی (که موازی خط جوش هستند) می‌توانند منجر به ایجاد ترک‌های عرضی در قطعه شوند. تنش‌های پسماند طولی، در مرکز جوش از نوع کششی شدید هستند؛ ولی در نواحی دورتر از مرکز جوش، از مقدار آن‌ها کاسته می‌شود [۱۷]. از آنجا که آلیاژ آلمینیوم سری ۵۰۰۰ (با نسبت استحکام به وزن بالا، مقاومت به خوردگی عالی در آب دریا و قابلیت جوش‌کاری خوب) در صنایع مختلفی نظیر صنایع دریایی، هواپما و ساخت مخازن تحت فشار استفاده می‌شود لذا در این صنایع، اتصال این آلیاژها با روش جوشکاری، از اهمیت بسزایی برخوردار است. به همین دلیل، این آلیاژ برای مطالعات این پژوهش انتخاب گردید [۱۸ و ۱۹].

## ۲- روش تحقیق

### ۲-۱- مواد و آماده‌سازی نمونه‌ها

بنا به مراجع مربوط به شبیه‌سازی فرآیند جوش‌کاری مانند [۲۰ و ۲۱]، بهمنظور ارائه مدلی معتبر برای شبیه‌سازی تنش پسماند لازم بود، ابتدا دو ورق با فرآیند جوش‌کاری به هم متصل شوند و سپس در یک مقطع معین از سطح قطعه، نتایج شبیه‌سازی با نتایج تجربی راستی آزمایش شوند. در این پژوهش، دو ورق از جنس آلیاژ آلمینیوم سری ۵۰۸۶، با درصد عنصر سازنده مندرج در جدول ۱ (حاصل از کوانتمتری) و خواص مکانیکی مندرج در جدول ۲ (حاصل از تست کشش)، به ابعاد  $150 \times 50$  میلی‌متر و به ضخامت ۸ میلی‌متر تهیه شد. سایز کردن ورق‌ها و ایجاد پخ جوشکاری-V-شکل با زاویه ۶۰ درجه، توسط ماشین کاری با دستگاه فرزنده شده. شکل و اندازه شیار طبق استاندارد AWS

جدول ۱- درصد عناصر تشکیل‌دهنده آلیاژ آلمینیوم سری

۵۰۰۰ مورد استفاده

Cu	Cr	Zn	Fe	Si	Mn	Mg	Al
۰/۰۶	۰/۰۹	۰/۰۹	۰/۱۵	۰/۲۵	۰/۶۰	۴/۲۵	فلاز اصلی

جدول ۲- خواص مکانیکی آلیاژ آلمینیوم سری ۵۰۰۰

مدول (GPa)	ضریب پواسون الاستیسیته	تنش نهایی	تنش تسلیم	کششی (MPa)	کششی (MPa)
۷۱	۰/۳۳	-	۳۳۷	۲۲۶	-

توزیع شده یکنواخت، به مقدار جزئی با تنش پسماند بدست آمده از روش گلداک تفاوت دارد [۱۳]؛ همچنین در پژوهش‌های اخیر مربوط به شبیه‌سازی فرآیند جوش‌کاری مانند فانوس و همکاران [۱۴]، بهمنظور شبیه‌سازی اضافه شدن فلز پرکننده در حین جوش‌کاری، از روش تولد و مرگ المان‌ها<sup>۱</sup> استفاده شده که بیشتر نزدیک به واقعیت است [۱۵].

بسیاری از روش‌های اندازه‌گیری تنش پسماند، دارای این محدودیت بزرگ هستند که قابلیت اندازه‌گیری تنش پسماند را در عمق قطعه ندارند و تنها برای سطح و نواحی بسیار نزدیک به سطح مناسب هستند. در پژوهش حاضر، از تلفیق روش شبیه‌سازی المان محدود و روش تجربی پراش پرتو ایکس بهمنظور اندازه‌گیری تنش پسماند طولی در عمق قطعه استفاده شده است. در جریان این پژوهش، ابتدا تنش‌های پسماند حاصل از جوش‌کاری ذوبی به روش تیگ دو ورق از جنس آلیاژ آلمینیوم سری ۵۰۰۰ در نرم افزار آباکوس به صورت غیرکوپل (به صورت دو تحلیل مجزای حرارتی و مکانیکی) شبیه‌سازی گردید، سپس نتایج حاصل از هر دو روش شبیه‌سازی و پراش پرتو ایکس در مسیری معین واقع بر سطح قطعه با هم مقایسه شدند. درنهایت پس از تایید اعتبار نتایج شبیه‌سازی در سطح قطعه، نمودار توزیع تنش پسماند طولی جوش‌کاری در چند عمق مختلف، با استفاده از شبیه‌سازی به دست آمد. در پژوهش حاضر، از روش شار توزیع شده‌ی یکنواخت (به منظور شبیه‌سازی منبع متحرک جوش‌کاری)، روش تولد و مرگ المان‌ها (به منظور شبیه‌سازی اضافه شدن فلز پرکننده در حین جوش‌کاری) و انتخاب المان‌های مشخص برای تحلیل حرارتی و مکانیکی استفاده گردید که انتخاب ترکیب این پارامترهای شبیه‌سازی توانست شرایط جوش‌کاری این پژوهش را نزدیک‌تر به واقعیت و نتایج تجربی بدست آمده در سطح قطعه بیان کند. همچنین در این پژوهش به منظور تایید بیشتر مدل تهیه شده، از آنالیز حساسیت به اندازه‌ی مش و اعتبار سنجی نتایج تحلیل حرارتی با نتایج تجربی نیز استفاده شد. در این پژوهش به تنش‌های پسماند طولی جوش‌کاری توجه شده است زیرا در جوش‌ها، بیشترین تنش‌های پسماند، در جهت طولی ایجاد می‌شود که بزرگی آن معمولاً حدود ۲ تا ۳ برابر

<sup>۱</sup> Element Death and Birth

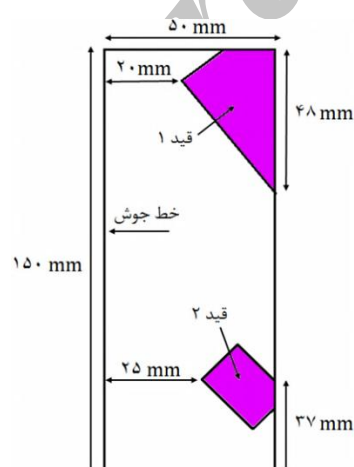
جدول ۳- پارامترهای جوشکاری

سرعت جوشکاری (mm/s)	قطبیت	ولتاژ (V)	شدت جریان (A)	شماره پاس جوشکاری
.۰/۶۶	AC	۱۵	۱۴۰	۱
.۰/۷۷	AC	۱۵	۱۵۰	۲

ابعاد و پخ قطعه اصلی صورت گرفت و هر بار قطعه بریده شد و عمق نفوذ جوش با اج بررسی شد تا پارامترهای بهینه بدست آمد. هنگام جوشکاری از فیکسچری مطابق شکل ۲ بهمنظور مهار قطعه و ایجاد تنفس پسماند بیشتر استفاده گردید. نقشه مکان اعمال فیکسچرها در شکل ۳ مشهود است. بعد از جوشکاری مشاهده شد که گردهای کوچک به ارتفاع ۰/۶ میلیمتر پدید آمد که با استفاده از سنباده‌زنی نرم (که تولید تنفس پسماند مازاد نمی‌کرد)، این گرده با سطح



شکل ۲- شرایط و قید و بندهای جوشکاری

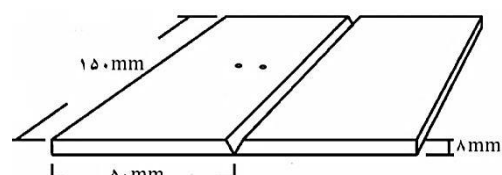


شکل ۳- نقشه‌ی مکان اعمال قیدها

D1.2/D1.2M [۲۲] انتخاب شد. در نهایت، قطعات پس از آماده‌سازی و قبل از انجام جوشکاری، در کوره تنفس گیری شدند؛ به طوری که دیگر الگوی پراش ایکس آن‌ها، تحت زوایای شیب مختلف، تغییرات چندانی را نشان نمی‌داد. باید به این نکته هم توجه نمود که هنگام جوشکاری ذوبی بسیاری از مواد، نیز تنفس‌های پسماند در محل خط جوش و مقداری دورتر از آن تحت دماهای بسیار بالای جوشکاری ذوبی آزاد می‌شوند.

همچنین بنا به [۲۲ و ۲۴]، در دو نقطه از سطح یکی از قطعات، به فواصل ۱۵ و ۲۰ میلی‌متری از خط جوش و روی محور تقارن عرضی ورق (شکل ۱)، به منظور مشاهده دما در حین جوشکاری، دو ترموموکوپل (که از طرف دیگر به ترمومتر متصل شده بودند) نصب گردید. همان‌طور که در بخش نتایج تحلیل حرارتی آورده شده است، پس از مدل کردن و مشخص‌زنی قطعه، دما و زمان سرد شدن قطعه در نقاط یا گره‌های موجود در محل نصب ترموموکوپل با داده‌های ترمومتر و کرنومتر مقایسه گردیده است تا اعتبار مدل حرارتی مشخص شود. برای مشاهده تغییرات دما، از ترمومتر دیجیتالی لوتن<sup>۱</sup> با دقت ۰/۱ درجه سیلیسیوس استفاده شد.

از روش جوشکاری تیگ یا جوشکاری با الکترود تنگستنی و گاز محافظ آرگون که یکی از روش‌های مرسوم جوشکاری آلیاژهای آلومینیوم است، برای اتصال ورق‌ها بهصورت لب‌به‌لب استفاده شد. بر اساس همان استاندارد AWS D1.2/D1.2M، فیلر ER5183 به منظور جوشکاری انتخاب شد و درنهایت جوشکاری با دستگاه پارس‌تیگ، جریان متناوب و در دو پاس، با پارامترهای موجود در جدول ۳ انجام شد. پارامترهای جدول ۳ با انجام جوشکاری با پارامترهای مختلف روی چند قطعه دیگر با همان جنس،



شکل ۱- تصویری از ابعاد ورق‌های آماده شده و محل نصب ترموموکوپل‌ها

<sup>۱</sup> Lutron TM-946

قرار گرفته است. لازم به ذکر است که مطابق بررسی انجام شده در آن مرجع، این فرض اثرگذاری ملموسی بر دقت نتایج شبیه‌سازی ندارد.

**۲-۲-۲- شبیه‌سازی فلز پرکننده یا فیلر**  
در شبیه‌سازی فرآیند جوش‌کاری، بهمنظور شبیه‌سازی اضافه شدن فلز پرکننده، تکنیک‌های متفاوتی وجود دارد که یکی از این تکنیک‌ها، روش تولد و مرگ المان‌ها<sup>۱</sup> است (شکل ۵) که از متداول‌ترین تکنیک‌ها در این زمینه به شمار می‌رود. در این روش، ابتدا کلیه المان‌های فلز پایه و فلز جوش مدل می-شوند، سپس المان‌های خط‌جوش که هنوز ایجاد نشده‌اند یا الکترود جوش‌کاری به آن‌ها نرسیده است، حذف می‌شوند و یا به اصطلاح در حالت مرگ قرار می‌گیرند. المان‌های مرده پس از رسیدن منبع حرارتی، زنده و فعل می‌شوند و حرارت منبع به آن‌ها اعمال می‌شود. لازم به ذکر است که در تحلیل مکانیکی نیز، المان‌ها هم‌زمان با عبور منبع حرارتی ایجاد و به اصطلاح زنده می‌شوند [۱۵]. در این پژوهش نیز، از این تکنیک استفاده شده است.

**۲-۳- تئوری تحلیل حرارتی و مدل‌سازی انتقال حرارت جوشکاری**  
گام مهم در تحلیل حرارتی فرآیند جوش‌کاری، شبیه‌سازی منبع حرارتی جوش‌کاری است. امروزه در شبیه‌سازی سه‌بعدی فرآیندهای ذوبی جوش‌کاری، به خصوص در موقعی که ضخامت قطعه نسبت به سایر ابعاد آن خیلی کوچک نباشد، از اعمال شارحجمی به قطعه استفاده می‌شود. در این پژوهش نیز، شارحرارتی به صورت حجمی به قطعه جوش‌کاری اعمال شده است؛ این عمل بدین صورت انجام گرفت که یک شار توزیع شده حرارتی به صورت یکنواخت یا *DFLUX* که طبق رابطه (۷) بدست آمد به المان‌های جوش یا ناحیه ذوب، در هرگام حرکت منبع حرارتی اعمال شد که متناسب با طول المان در راستای جوشکاری بود [۱۶].

$$DFLUX = \frac{\eta UI}{V} \quad (1)$$

<sup>۱</sup> Element Death and Birth

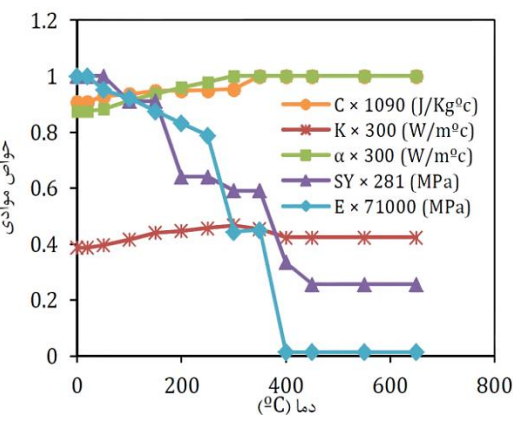
ورق هم ارتفاع شد؛ زیرا در اندازه‌گیری تنش با روش تجربی پراش پرتو ایکس، لازم بود که سطح قطعه هموار باشد تا از تغرق‌های ناخواسته پرتو ایکس جلوگیری شود.

## ۲-۲- شبیه‌سازی تنش پسماند جوش‌کاری

### ۲-۲-۱- مدل‌سازی خواص مواد

شبیه‌سازی خواص مواد، همواره یکی از بخش‌های مهم و اولین مرحله در شبیه‌سازی جوش‌کاری محسوب می‌شود؛ زیرا در فرآیند جوش‌کاری ذوبی، با توجه به اینکه گستره دمایی بسیار وسیع است (در جوش‌کاری آلیاژ ۵۰۸۳ از دمای بالای ۶۰۰ درجه در حوضچه مذاب گرفته تا دمای نقاط بسیار دور از حوضچه مذاب که نزدیک به دمای اتاق هستند). لذا خواص مواد باید در دماهای مختلف برای نرم‌افزار معلوم باشد. خواصی که عبارتند از: خواص حرارتی مانند: گرمای ویژه (*C*)، ضریب هدایت حرارتی ماده (*K*)، چگالی (*ρ*)، دمای ذوب و دمای انجاماد ماده است؛ همچنین برخی از خواص مکانیکی مواد مانند: مدول یانگ (*E*)، ضریب پواسون (*υ*)، تنش تسلیم (*σy*) و ضریب انبساط حرارتی (*a*) نیز برای شبیه‌سازی تنش پسماند جوشی لازم می‌باشند. همه خواص مذکور، وابسته به دما می‌باشند. خواص وابسته به دمای به کار رفته در شبیه‌سازی جوش جنس مورد بررسی در شکل ۴ مشهود است. دمای ذوب آلیاژ در محدوده ۵۷۰-۶۲۰ درجه سیلیسیوس است [۲۵].

در نظر گرفتن حداقل استحکام برای فلز جوش در دماهای بالا (بالاتر از ۴۰۰ درجه) برای همگرایی تحلیل المان محدود، امری ضروری است که در مرجع فوق، مورد استفاده



شکل ۴- خواص وابسته به دما [۲۵]

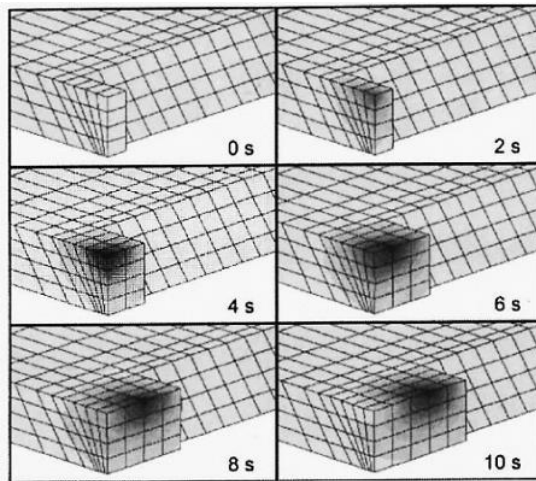
#### ۴-۲-۲- مدل کردن قطعه و مش زنی آن

نخست مدلی با همان ابعاد قطعه اصلی در نرم‌افزار آباکوس ایجاد شد. از المان‌های نوع DC3D8 برای تحلیل حرارتی [۲۷] و از المان‌های نوع C3D8 برای تحلیل مکانیکی [۲۸] استفاده شد. سپس مدل، مش زنی گردید؛ ولی یکی از عواملی که همواره باید در شبیه‌سازی‌ها بررسی شود، بررسی اثر اندازه المان‌های مدل بر نتیجه مورد انتظار از شبیه‌سازی است که به آنالیز حساسیت اندازه مش معروف است؛ لذا مدل در چند مرحله، با اندازه المان مختلف مش زنی می‌شود و در هر مرحله، اندازه المان‌ها در موضع حساسی مورد بررسی مانند منطقه جوش، کوچک‌تر از مرحله قبل ایجاد می‌شود و به‌اصطلاح المان‌ها را آنقدر کوچک می‌کنند تا نتیجه مورد انتظار از شبیه‌سازی تغییر چندانی نکند.

در این پژوهه پنج نوع مش زنی در اندازه بزرگ تا اندازه کوچک روی مدل هندسی انجام شد. پارامتر مورد بررسی برای حساسیت مش، بیشینه دما در محل نصب نزدیک‌ترین ترموموکوپیل به خط جوش (در فاصله ۱۵ میلی متری از خط جوش مشهود در شکل ۱) انتخاب شد [۱۸]. نتیجه بررسی در شکل ۶ مشهود است. همان‌طور که مشاهده می‌شود، بعد از تعداد ۱۰۵۰۰ المان روی هر ورق، تغییرات دمایی کم است و تغییرات، فقط در حد ۳ درجه سانتی‌گراد است که تأثیر خیلی کمی روی تنفس پسمند می‌گذارد؛ لذا مدلی با تعداد ۱۰۵۶۰ المان و ۱۲۷۴۹ گره یا نقطه موجود روی هر ورق، برای شبیه‌سازی این پژوهش انتخاب شد که تصویر این مش روی هر ورق در شکل ۷ قابل مشاهده است. همان‌طور که در این شکل معلوم است، مش در ناحیه جوش و مناطق نزدیک به آن، ریزتر از مناطق دورتر زده شده است؛ زیرا در این مناطق، شب حرارتی شدیدی وجود دارد. اندازه کوچک‌ترین المان برابر  $2/5 \times 1 \times 1$  میلی‌مترمکعب که به ترتیب از چپ به راست برابر اندازه ضلع المان در راستای ضخامت قطعه، عرض قطعه و طول جوش است.

#### ۴-۲-۳- تحلیل مکانیکی

همواره در شبیه‌سازی فرآیند جوش‌کاری، نیاز به دو تحلیل حرارتی و مکانیکی است. در تحلیل به روش کوپیل یا مستقیم، هر دو تحلیل حرارتی و مکانیکی همزمان با هم و در یک مرحله انجام می‌شود. در این تحلیل، نیاز به المان‌هایی با



شکل ۵- تولد المان‌ها با حرکت منبع حرارتی جوش [۱۴]

در رابطه (۱)،  $U$  اختلاف پتانسیل قوس،  $I$  شدت جریان و  $\eta$  بازده قوس الکتریکیاست که مقدار آن برای فرایند جوش‌کاری تیگ،  $6/۰$  در نظر گرفته شد [۲۶]. و  $V$  حجم منبع حرارتی یا حجم المان‌های فعال جوش است. برای اندازه‌گیری  $V$  لازم بود، مرز ناحیه ذوب شده مشخص شود. بدین منظور از قطعه جوشکاری شده، یک نمونه متالوگرافی به طول ۲ سانتی‌متر شامل، هر سه ناحیه فلز جوش، HAZ و فلز پایه، به‌طوری که جوش در وسط آن قرار داشت، استخراج شد. بعد از استخراج نمونه، سطح مقطع بریده شده نمونه، ابتدا با سوهان و سپس با سمباده‌های مناسب، مسطح گردیده و در نهایت پولیش شد. پس از پولیش کردن سطح مقطع نمونه، این سطح به مدت ۳۰ ثانیه در محلول  $\text{K}_3\text{Fe}^{\text{3+}}$  اج شد. پس از انجام اج و متالوگرافی، با استفاده از اندازه‌گیری با کولیس مشاهده شد که عرض ناحیه فلز جوش روی هر ورق در حدود  $5/5$  میلی‌متر و عرض ناحیه HAZ روی هر ورق در حدود  $2/1$  میلی‌متر است. به این ترتیب حجم ناحیه ذوب شده و نیز مقدار  $V$  بدست آمد. در نهایت مقدار  $DFLUX$  با توجه به رابطه (۱)، برای هر پاس جوش‌کاری با توجه به پارامترهای جوش‌کاری جدول ۳ محاسبه شد و به المان‌های جوشی در هر پاس جوش‌کاری اعمال گردید و در نهایت دما در نقاط مدل بدست آمد.

<sup>۱</sup> Keller

سپس برای انجام تحلیل مکانیکی، سایبروتنین دیگری نوشته شد که تحلیل مکانیکی را با فراخوانی تاریخچه دمایی ذخیره شده در فایل ODB مرحله قبل انجام می‌داد. برای انجام تحلیل مکانیکی، لازم است که شرایط قیدوبند در نرمافزار آباکوس شبیه‌سازی شود. بدین منظور همه نقاطی از مدل قطعه که در زیر محل قیدوبندها (نقشه قیدوبندها در شکل ۳) قرار داشت به دلیل صلابت بالای قیدها، در هر سه جهت طول، عرض و ضخامت قطعه مقید شدند. برای نقاط یا گرههای موجود در صفحه تقاضن اتصال دو قطعه جوش‌کاری شده (که به صورت صفحه‌ی موازی با راستای خط جوش قرار داشت)، ممانعت از حرکت در جهت عمود بر صفحه مذکور به عمل آمد. پس از شبیه‌سازی قیدها، نتایج تحلیل حرارتی وارد تحلیل مکانیکی شد و پس از حل المان محدود روابط تنش-کرنش مربوطه، تنش پسماند در نقاط مدل بدست آمد.

### ۲-۳-۱- اندازه‌گیری تنش پسماند طولی جوش‌کاری با روش پراش پرتو ایکس

### ۲-۳-۲- تئوری اندازه‌گیری تنش پسماند با روش پراش پرتو ایکس

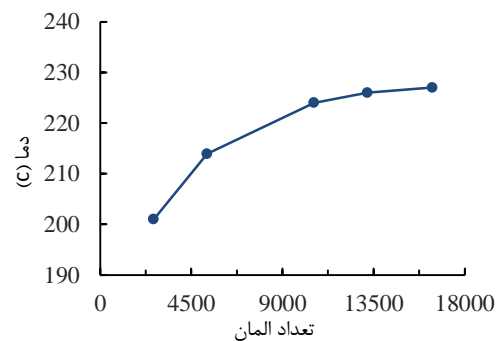
رابطه اساسی در روش پراش پرتو ایکس، قانون براگ است که مطابق رابطه (۲) است.

$$n\lambda = 2d \sin\theta \quad (2)$$

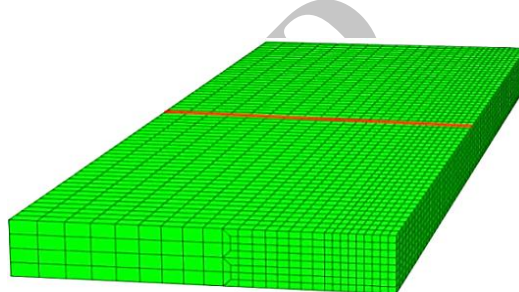
در رابطه (۲)،  $n$  مرتبه انعکاس،  $\lambda$  طول موج پرتو ایکس،  $d$  فاصله بین صفحات کریستالی و  $\theta$  زاویه انعکاس است.

در این روش، ابتدا سطح قطعه تحت تابش پرتو ایکس تک طول (طول موج ثابت) موج قرار می‌گیرد؛ سپس پرتوهای منعکس شده در جایی دریافت می‌شوند که با هم تداخل سازنده کرده، رابطه براگ را ارضا کنند و در نتیجه دارای بیشترین شدت باشند و در آن محل یک پیک پراش مشاهده خواهد شد.

طبق رابطه براگ، در صورت بروز هر تغییری در فاصله صفحات کریستالی ( $d$ ) تحت عواملی مانند تنش، زاویه انعکاس ( $\theta$ ) جایه‌جا خواهد شد. تیوب‌های تولید پرتو ایکس در واقع طیفی پیوسته‌ای از طول موج‌ها تولید می‌کنند که سه پرتو پرانرژی تکفام آن،  $k\alpha_1$ ،  $k\alpha_2$  و  $k\alpha_3$  نام دارند. البته با انجام فیلتراسیون تلاش می‌شود تا پرتو تک طول موج به

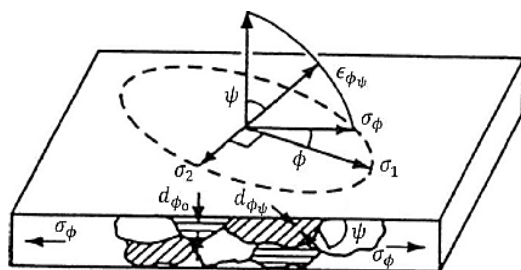


شکل ۶- نتایج آنالیز حساسیت اندازه‌ی مش



شکل ۷- نحوه‌ی مشزنی مدل قطعه‌ی مورد بررسی

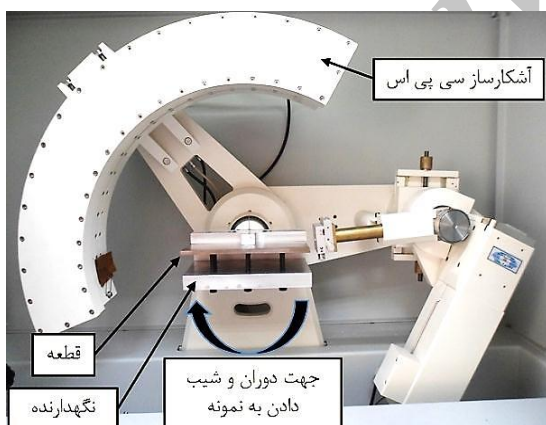
درجه آزادی بالاتر نسبت به المان‌های مورد نیاز در حل غیرمستقیم است. ماتریس‌های المان‌ها و بردارهای نیرو در این تحلیل، شامل تمام ترموماتیکی مورد نیاز می‌باشند. تحلیل به روش غیرکوپل یا غیرمستقیم در دو تحلیل مجزا انجام می‌شود، به این صورت که در تحلیل اول، تحلیل حرارتی انجام می‌شود و توزیع حرارت در نقاط مدل و در زمان‌های مختلف بهدست می‌آید، سپس در تحلیل دوم که تحلیل مکانیکی است، دمای نقاط یا گره‌ها که در تحلیل اول بدست آمد، به عنوان بارگذاری و ورودی تحلیل دوم به کار می‌رود؛ نتیجه تحلیل دوم می‌تواند تنش‌های پسماند جوش‌کاری و یا اعوجاج ناشی از جوش‌کاری باشد. ازان‌جاکه تحلیل غیرمستقیم در دو مرحله مستقل از هم انجام می‌شود، لذا انعطاف‌پذیری این روش بیشتر از روش حل مستقیم است و زمان حل مسئله نیز در این روش، کوتاه‌تر است. در ضمن، تحلیل غیرمستقیم نیاز به ظرفیت‌های سختافزاری کامپیوتری کمتری نسبت به تحلیل مستقیم دارد [۱۸]. برای انجام تحلیل غیرکوپل در آباکوس، ابتدا در یک سایبروتنین جدا شار حرارتی، با مدل‌سازی شرایط انتقال حرارت، از روی قطعه عبور داده شد و نتایج آن که تاریخچه دمایی در نقاط مدل بود، توسط آباکوس در یک فایل ODB ذخیره شد.



شکل ۹- محور و جهات مورد استفاده در بحث پراش پرتو ایکس [۳۱]

### ۲-۳-۲- اندازه‌گیری تجربی تنش پسماند طولی با روش پراش پرتو ایکس

به منظور اندازه‌گیری تنش پسماند طولی با روش پراش پرتو ایکس با هدف اعتبارسنجی نتایج روش شبیه‌سازی، از دستگاه پراش پرتو ایکس اکویناکس<sup>۱</sup> مدل ۳۰۰۰ که دستگاه شرکت اینل<sup>۲</sup> است، مطابق شکل ۱۰ استفاده شد. این دستگاه یکی از جدیدترین و پیشرفته‌ترین نوع دستگاه‌های پراش پرتو ایکس محسوب می‌شود؛ زیرا در ساخت آن از آشکارسازهای نوع جدید مکان ثابت سی پی اس<sup>۳</sup> نوع ۱۲۰ (دارای انحنای ۱۲۰ درجه و به شعاع انحنای ۲۵۰ میلی‌متر) استفاده شده است که سرعت و دقت کار را افزایش داده است.

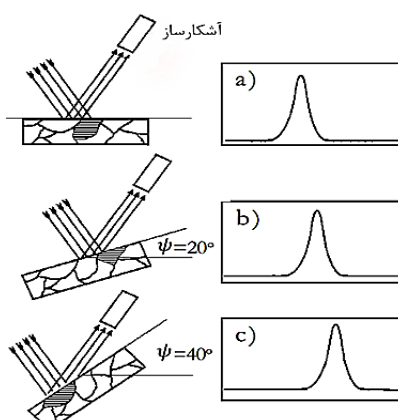


شکل ۱۰- دستگاه پراش پرتو ایکس مورد استفاده

سطح قطعه تابیده شود. در اندازه‌گیری تنش پسماند استفاده از پیک‌های پراش دریافت شده با مقدار  $2\theta$  در حد ۱۲۰ درجه و بالاتر از آن توصیه شده است؛ زیرا در این زوایا، پیک‌های پراش دقیق و شدت بالاتری دارند و نیز پرتو از پرتوهای  $k\alpha_1$  و  $k\alpha_2$  فاصله می‌گیرد و دقت تشخیص مکان دقیق نوک پیک پراش بالاتر رفته، دیگر نیازی به استفاده از فیلتر برای حذف آن نمی‌باشد [۲۹]. وجود تنش پسماند در قطعه باعث می‌شود، چنانچه به قطعه در برابر پرتو ایکس، چندین بار تحت زاویه  $\psi$  شیب داده شود، در هر زاویه شیب، پیک مورد بررسی برای تعیین مقدار تنش پسماند، مطابق شکل ۸ مقداری جایه‌جا شود و در هر زاویه شیب، مقدار  $2\theta$  و  $d$  متفاوتی بدست آید [۳۰]. به همین دلیل، روال کار چنین است که به قطعه در برابر پرتو چندین بار شیب داده می‌شود. سپس در هر زاویه شیب، مقدار  $d$  اندازه‌گرفته شده و در آخر نمودار  $d$  بر حسب  $\sin^2 \psi$  رسم می‌شود و از شیب نمودار حاصل، در رابطه (۳) استفاده می‌شود تا تنش پسماند در هر جهت دلخواه  $\phi$  بدست آید که در شکل ۹ مشخص است. رابطه (۳) از روابط الاستیسیته و اعمال شرط تنش صفحه‌ای به علت محدود بودن عمق نفوذ پرتو در ضخامت ماده و اندازه‌گیری تنش سطحی قطعه بدست آمده است.

$$\sigma_\phi = \frac{E}{d_{\phi 0}(1+v)} \times \frac{\partial d_{\phi \psi}}{\partial \sin^2 \psi} \quad (3)$$

در رابطه (۳)،  $E$  مدول الاستیسیته،  $v$  ضریب پواسون،  $d_{\phi 0}$  فاصله بین صفحات کریستالی در  $\psi=0$  و  $d_{\phi \psi}$  فاصله بین صفحات کریستالی در زاویه دلخواه  $\phi$  و  $\psi$  است [۳۱].



شکل ۸- شیب دادن به قطعه در برابر پرتو و جایه‌جایی پیک پراش [۳۰]

<sup>1</sup> Equinox

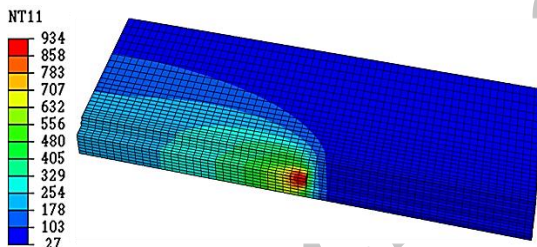
<sup>2</sup> Inel

<sup>3</sup> detector

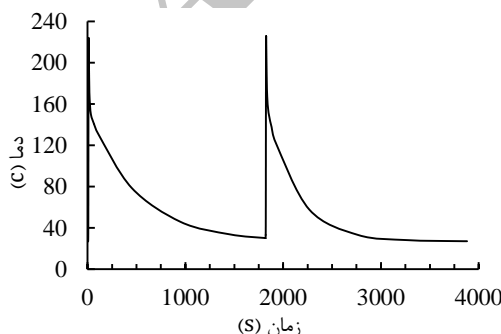
<sup>4</sup> CPS

مثال در شکل ۱۱، توزیع دمایی در قطعه بر حسب درجه سلسیوس، درست در زمانی که منبع حرارتی جوشکاری در پاس اول جوشکاری به نصف مسیر خود رسیده است، نشان داده شده است. با توجه به همین شکل، بیشینه دما، به علت حضور حرارت خود قوس جوشکاری، مقداری بیشتر از نقطه ذوب فلز پایه است که در واقعیت نیز چنین است.

در شکل ۱۲ تاریخچه دمایی بدست آمده از شبیه‌سازی، برای گره یا نقطه‌ای که در محل نزدیک‌ترین ترموکوپل به خط جوش (در ۱۵ میلی‌متری از خط جوش و روی محور تقارن عرضی و مشهود در شکل ۱) قرار دارد، نشان داده شده است. برای این نقطه، بیشینه دمایی بدست آمده در هر دو پاس جوشکاری با استفاده از روش المان محدود، به همراه بیشینه دمایی که به صورت تجربی توسط ترمومتر با هدف اعتبارسنجی، اندازه‌گیری شده است و نیز زمان اندازه‌گیری شده برای سرد شدن این نقطه، به وسیله هر دو روش المان محدود و سنجش تجربی، در جدول ۵ آورده شده است. مشاهده می‌شود که تطابق خوبی بین دماهای تجربی و شبیه‌سازی به چشم می‌خورد و بیشترین اختلاف دما در حد



شکل ۱۱- توزیع دما در پاس اول، در لحظه رسیدن منبع جوشکاری به نصف مسیر



شکل ۱۲- تاریخچه دمایی در محل اتصال نزدیک‌ترین ترموکوپل به خط جوش

این نوع آشکارسازها (همان شکل ۱۰)، این مزیت مهم را دارند که در مدت زمان کوتاه‌تری نسبت به آشکارسازهای قدیمی، همه پراش‌های صورت گرفته از سطح را به طور همزمان در طول انحنای خود دریافت می‌کنند که دیگر نیازی به حرکت آشکارساز برای دریافت پیک پراش نیست [۳۲]؛ همچنین این دستگاه دارای قدرت تفکیک خیلی بالایی است، قدرت تفکیک زاویه‌ای این دستگاه در حد ۰/۰۱ درجه است که بسیار بهتر از رنج پیشنهادی برای بحث اندازه‌گیری تنش پسماند (یعنی محدوده ۰/۰۵ درجه) است [۳۳]. سایر مشخصات و شرایط تنظیمی دستگاه پراش پرتو ایکس به منظور اندازه‌گیری تنش پسماند، در جدول ۴ آورده شده است.

### ۳- نتایج

#### ۳-۱- نتایج تحلیل حرارتی

بعد از مقید نمودن قطعه، جوشکاری قطعات انجام شد. در حین جوشکاری، بیشینه دما در نقاط نصب ترمومتر توسط

#### جدول ۴- مشخصات و شرایط تنظیمی دستگاه پراش پرتو

ایکس مورد استفاده برای اندازه‌گیری تنش پسماند

مشخصات دستگاه	مقدار واحد
طول موج پرتو [Å]	$k\alpha_1$
۱/۵۴۰۵۹ [Å]	۱/۵۴۴۴۲۶ [Å]
۱/۵۴۴۴۲۶ [Å]	طول موج پرتو
۳۰ mA و ۴۰ kV	ولتاژ و جریان ژنراتور
۳۵۰ s	زمان هر پرتودهی
مس	نوع تیوب
پیوسته	نوع تابش پرتو

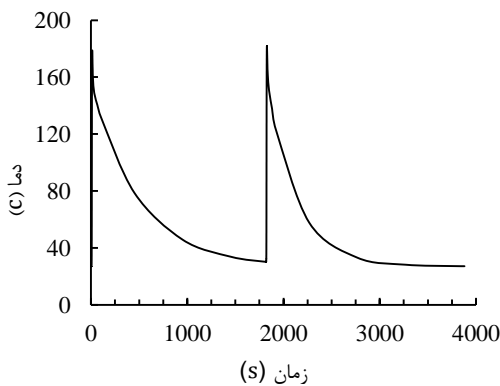
ترمومتر خوانده شد و زمان سرد شدن قطعه در نقاط اتصال ترمومتر کوپل‌ها (شکل ۱)، از لحظه شروع جوشکاری تا رسیدن دمای قطعه به دمای محیط، توسط کرنومتر اندازه‌گیری شد؛ هدف از اندازه‌گیری این پارامترها، استفاده از آن‌ها برای اعتبارسنجی نتایج تحلیل حرارتی حاصل از شبیه‌سازی با نتایج تجربی بود. به منظور انجام تحلیل حرارتی از طریق شبیه‌سازی، پس از بدست آوردن مش بهینه (مشروح در بخش قبلی)، تحلیل حرارتی مطابق آنچه که در قسمت تئوری تحلیل حرارتی بیان شد، روی مدل انجام گرفت و توزیع دما و تاریخچه دمایی در نقاط مدل بدست آمد. برای

جدول ۶- مقایسه نتایج شبیه‌سازی و تجربی در مکان  
ترموکوپل دور از خط جوش

زمان خنک (s)	زمان خنک شدن بدست حاصله از کرنومتر (s)	بیشینه دما از ترمومتر شبیه‌سازی (°C)	بیشینه دما بدست آمده از ترمومتر شبیه‌سازی (°C)	شماره پاس جوش
۱۷۴۶	۱۸۱۹	۱۸۶	۱۷۹	۱
۱۷۷۱	۱۸۳۲	۱۹۰	۱۸۲	۲

جدول ۵- مقایسه نتایج شبیه‌سازی و تجربی در مکان  
ترموکوپل نزدیک به خط جوش

زمان خنک شدن بدست حاصله از کرنومتر (s)	زمان خنک شدن بدست آمده از ترمومتر شبیه‌سازی (s)	بیشینه دما از ترمومتر شبیه‌سازی (°C)	بیشینه دما بدست آمده از ترمومتر شبیه‌سازی (°C)	شماره پاس جوش
۱۷۴۶	۱۸۱۹	۲۲۹	۲۲۴	۱
۱۷۹۳	۱۸۶۶	۲۳۲	۲۲۶	۲



شکل ۱۳- تاریخچه دمایی در محل اتصال دورترین ترموموپل از خط جوش

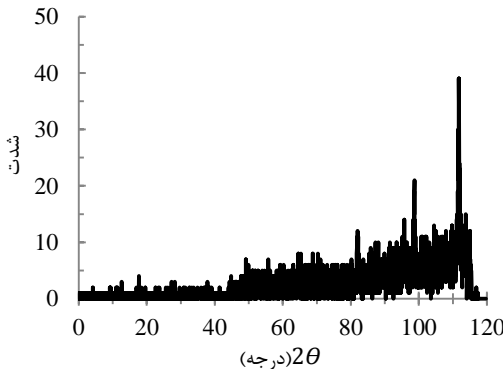
### ۲-۳- نتایج تحلیل مکانیکی

به منظور بررسی اعتبار تنفسی پسمند حاصل از شبیه‌سازی، روی سطح یکی از دو ورقی که روی آن ترموموپل نصب شده بود و اندازه‌گیری‌های پراش پرتو ایکس هم روی آن ورق انجام شده بود، مقطع عرضی تقارن و منصف ورق یعنی مقطع مشخص شده با خط ضخیم در شکل ۷ انتخاب شد و پس از انجام تحلیل مکانیکی از طریق حل المان محدود و شبیه‌سازی، تنفس پسمند در این مقطع بدست آمد که روی سطح قطعه واقع است که نتایج در شکل ۱۴ مشهود است. تحلیل مکانیکی به این شکل انجام شد که پس از انجام تحلیل حرارتی و بدست آمدن تاریخچه دمایی در نقاط مدل، این تاریخچه به عنوان ورودی، وارد تحلیل مکانیکی شد تا پس از حل المان محدود روابط تنفس-کرنش، تنفس پسمند در کل مدل قطعه بدست آید.

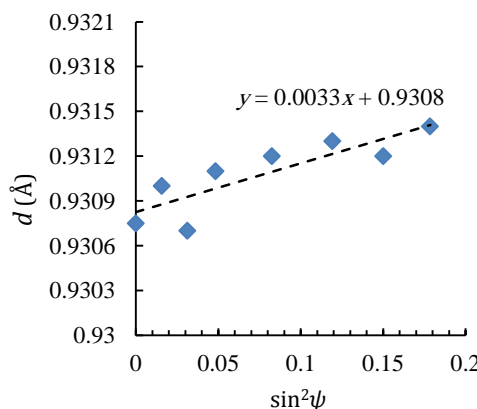
۶ درجه سلسیوس است که تأثیر خیلی محسوسی روی تنفسی پسمند نمی‌گذارد. طبق همین جدول ۵ در مورد تفاوت زمان سرد شدن در حالت شبیه‌سازی و تجربی نیز تطابق خوبی مشاهده می‌شود، هرچند ممکن است که تفاوت زمان سرد شدن‌ها در حالت شبیه‌سازی و تجربی به مقداری بیشتر از یک دقیقه برسد، ولی با توجه به شکل تاریخچه حرارتی در محل ترموموپل اول (شکل ۱۲) مشاهده می‌شود که رفتار فرته به هنگام سرد شدن و نزدیک شدن دمای این نقطه به دمای تعادل قطعه با محیط، حتی با وجود گذر زمان در حد ۱۰۰ ثانیه، تغییرات دمایی کمی (کمتر و یا در حد ۱ درجه سلسیوس) رخ داده است که واقعاً تأثیر ناچیزی روی تنفسی پسمند خواهد داشت؛ لذا تطابق خوبی بین نتایج شبیه‌سازی و تجربی مشاهده گردید.

در شکل ۱۳ تاریخچه دمایی برای گره یا نقطه‌ای که در محل دورترین ترموموپل از خط جوش (در ۲۰ میلی‌متری از خط جوش و روی محور تقارن عرضی و مشهود در شکل ۱) قرار دارد، نشان داده شده است. در این نقطه، اعتبار سنجی مدل المان محدود با نتایج تجربی، در جدول ۶ آورده شده است. مشاهده می‌شود که بیشترین اختلاف دما در حد ۵ درجه سلسیوس است که بنا به توضیحات مربوط به جدول ۵ که پیش‌تر بیان شد، این تطابق و تطابق زمان‌های سرد شدن در هر دو پاس، در حد خوبی است. توجه شود که زمان خنک شدن در پاس اول برای هر دو ترموموپل نزدیک و دور از خط جوش یکسان بوده، برابر مدت زمان بین شروع جوش کاری پاس اول تا شروع جوش کاری پاس دوم است. به همین جهت زمان خنک شدن آن‌ها در پاس اول، در جداول ۴ و ۵ یکسان درج شده است.

پسماند طولی در راستای عمق قطعه به دست آمد که در بخش بعدی، به بحث در مورد نتایج به دست آمده پرداخته شده است.



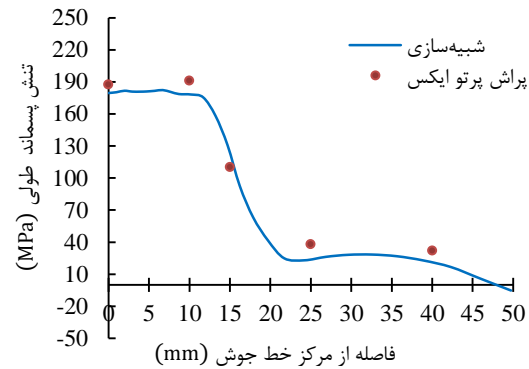
شکل ۱۵- آنالیز پراش به منظور انتخاب پیک پراش مناسب



شکل ۱۶- نمودار  $d$  بر حسب  $\sin^2\psi$  برای نقطه‌ی واقع روی خط جوش

جدول ۷- نتایج پراش برای نقطه‌ی واقع روی خط جوش

$d$ (انگستروم)	$2\theta$ (درجه)	$\sin^2\psi$	$\psi$ (درجه)	شماره شیب
۰/۹۳۰۸	۱۱۱/۸۹۳	.	.	۱
۰/۹۳۱۰	۱۱۱/۸۷۵	۰/۰۱۵۷۰۸	۷/۲	۲
۰/۹۳۰۷	۱۱۱/۸۳۹	۰/۰۳۱۳۵۹	۱۰/۲	۳
۰/۹۳۱۱	۱۱۱/۸۷۵	۰/۰۴۸۳۳۲	۱۲/۷	۴
۰/۹۳۱۲	۱۱۱/۸۳۹	۰/۰۸۲۵۷۶	۱۶/۷	۵
۰/۹۳۱۳	۱۱۱/۸۷۵	۰/۱۱۹۲۳۱	۲۰/۲	۶
۰/۹۳۱۲	۱۱۱/۸۳۱	۰/۱۵۰۱۶۸	۲۲/۸	۷
۰/۹۳۱۴	۱۱۱/۷۶۶	۰/۱۷۸۶۰۶	۲۵	۸



شکل ۱۴- تنش پسماند طولی حاصل از دو روش شبیه‌سازی و پراش پرتو ایکس

### ۳-۳- نتایج پراش پرتو ایکس

پس از انجام یک آزمون پراش روی قطعه، پیک پراش ظاهر شده در  $2\theta$  بین ۱۱۱ و ۱۱۲ درجه که دارای شدت و دقت کافی و از لحظه مکانی نزدیک به ۱۲۰ درجه بود (شکل ۱۵)، برای بررسی انتخاب شد. همچنین به علت انجام فیلتراسیون قوی در دستگاه پراش مورد استفاده، دیگر نگرانی از حضور پرتو  $k\beta$  و کاهش دقت اندازه‌گیری وجود نداشت. در هر نقطه مورد اندازه‌گیری تنش پسماند، به قطعه چندین بار تحت زاویه  $\psi$  در برابر پرتو ایکس، شیب داده شد که اطلاعات و نتایج بدست آمده برای نقطه روی خط جوش در جدول ۷ درج شده است. در نهایت نمودار  $d$  بر حسب  $\sin^2\psi$  برای هر یک از نقاط مورد اندازه‌گیری تنش پسماند رسم شد و شیب نمودار حاصل، در رابطه (۳) استفاده گردید و مقدار تنش پسماند طولی محاسبه شد. نمودار  $d$  بر حسب  $\sin^2\psi$  برای نقطه روی خط جوش، در شکل ۱۶ نشان داده شده است. مطابق شکل ۱۴، تنش پسماند طولی در ۵ نقطه واقع بر مقطع مورد مطالعه، با روش پراش پرتو ایکس اندازه‌گیری گردید؛ همچنین موقعیت مکانی هر نقطه و مقدار تنش پسماند طولی اندازه‌گیری شده با هر دو روش پراش پرتو ایکس و شبیه‌سازی و نیز اختلاف نتایج حاصله، در جدول ۸ درج شده است.

۴-۳- توزیع تنش پسماند طولی در اعمق قطعه

پس از تایید اعتبار نتایج مدل المان محدود، نتایج حاصل از شبیه‌سازی تنش پسماند طولی، در ۷ عمق مختلف از سطح قطعه در شکل ۱۷ آورده شد و به این ترتیب، توزیع تنش

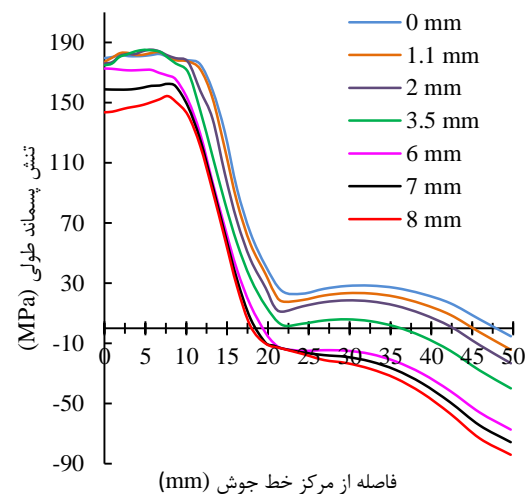
را مستعد رشد می‌کند) و در جدول ۸ هم مشهود است که حتی در محدوده‌ای بزرگ‌تر از این منطقه (تا فاصله ۱۰ میلی‌متری از خط جوش)، هم تطابق خوبی بین نتایج دو روش مشاهده می‌شود. به طوری که اختلاف نتایج دو روش برای نقطه واقع در فاصله ۱۰ میلی‌متری از خط جوش، در حد  $13/8$  مگاپاسکال (معادل  $7/2$  درصد) بود. بهترین تطابق بین نتایج، برای نقطه واقع روی خط جوش مشاهده شد که میزان اختلاف در حد  $7/5$  مگاپاسکال (معادل  $4$  درصد) بود. در نقطه واقع در فاصله  $15$  میلی‌متری از خط جوش نیز، تطابق مطلوبی مشاهده شد؛ به طوری که میزان اختلاف نتایج روش شبیه‌سازی و پراش پرتو ایکس، در حد  $15$  مگاپاسکال (معادل  $13/6$  درصد) بود. مناطق مهم در پژوهش حاضر تا نهایتاً فاصله  $20$  میلی‌متری از خط جوش است که دارای تنش پسماند بیشتر از  $38$  مگاپاسکال می‌باشند. در مناطق بین  $20$  تا  $50$  میلی‌متر از خط جوش، تنش‌های پسماند رفته‌رفته تا یک مقدار فشاری و منفی، افت پیدا می‌کنند و این مقدار تنش، خطر آنچنانی برای سازه ایجاد نمی‌کند. با توجه به شکل ۱۴ و نتایج مندرج در جدول ۸ مشاهده موجود در فاصله  $20$  تا  $50$  میلی‌متری از خط جوش در حد  $13/7$  مگاپاسکال است که نسبت به تنش تسليیم فلزپایه و جنس مورد مطالعه عدد کوچکی است.

با توجه به توضیحات قبلی و مقدار اختلاف نتایج دو روش شبیه‌سازی و پراش پرتو ایکس در نقاط مورد بررسی، اعتبار شبیه‌سازی پژوهش حاضر تایید گردید (روال تایید اعتبار مدل شبیه‌سازی پس از مقایسه با نتایج تجربی به دست آمده از سطح قطعه در جهت طولی جوشکاری، بر اساس رووال کار جوادی و صادقی [۲۰] و [۲۱] انجام شد و اعتبار مدل تایید شد) و با استناد بر آن، توزیع تنش پسماند طولی در راستای عمق قطعه در شکل ۱۷، با استفاده از شبیه‌سازی به دست آمد و بنا به همین شکل، نتایج تنش پسماند طولی به دست آمده در  $5$  نقطه به فواصل مختلف از خط مرکزی جوش، در  $6$  عمق مختلف، در جدول ۹ مشهود است.

بنا به شکل ۱۷ مشهود است که تنش‌های پسماند طولی در فاصله  $0$  تا  $10$  میلی‌متری از خط جوش، تا عمق  $3/5$  میلی‌متر، دارای مقادیر نسبتاً ثابتی هستند؛ ولی در عمق‌های بالاتر، اختلاف مقادیر تنش پسماند افزایش یافت. تنش‌های

جدول ۸- نقاط اعتبارسنجی و تنش پسماند اندازه‌گیری شده با هر دو روش

فاصله نقطه از مرکز خط	تنش پسماند طولی حاصل از روش پراش (MPa)	تنش پسماند طولی حاصل از روش شبیه‌سازی (MPa)	نتایج (MPa)
.	$187/5$	$180$	$7/5$
$10$	$191$	$177/2$	$13/8$
$15$	$110$	$125$	$15$
$25$	$37/8$	$24/1$	$13/7$
$40$	$32$	$20/3$	$12/2$



شکل ۱۷- تنش پسماند طولی حاصل از شبیه‌سازی در چند عمق مختلف از سطح قطعه

#### ۴- بحث روی نتایج

با توجه به شکل ۱۴ و نتایج مندرج در جدول ۸، تطابق بسیار خوبی بین نتایج روش پراش پرتو ایکس و شبیه‌سازی، تا فاصله  $10$  میلی‌متری از خط جوش دیده می‌شود. بنا به اج انجام شده در پژوهش حاضر، محدوده شامل فلز جوش و منطقه متاثر از حرارت یا HAZ در مجموع وسعتی در حد  $7/6$  میلی‌متر دارد و در مطالعات مربوط به عیوب جوشی و شرایط رشد آن‌ها بخصوص تحت تأثیر تنش پسماند، این منطقه بیشترین اهمیت را دارد (چون اولاً خطرناک‌ترین عیوب در این منطقه به وجود می‌آیند و ثانیاً بیشترین تنش‌های پسماند در این منطقه شکل می‌گیرد که این عیوب

از خط جوش، تنش‌های پسماند کششی موجود در این نواحی را به مقدار قابل توجهی تقلیل داد. انجام عملیات حرارتی تنش‌گیری نیز، باعث تقلیل مقدار تنش‌های پسماند می‌شود؛ ولی همزمان با کاهش تنش‌های پسماند کششی، تنش‌های پسماند فشاری (که در جلوگیری از خستگی، ایجاد و گسترش ترک اهمیت دارند) را نیز کاهش می‌دهد. شبیه‌سازی همچنین گویای آن بود که با افزایش عمق، مقدار تنش‌های پسماند کششی، کاهش و مقدار تنش‌های پسماند فشاری تا مقدار زیادی (در مناطق دورتر از فلز جوش) افزایش می‌یابد. در ادامه به برخی از عواملی اشاره می‌شود که باعث بروز اختلاف بین نتایج دو روش شبیه‌سازی و پراش پرتو ایکس شده است:

- ۱- ساده‌سازی‌هایی که در شبیه‌سازی‌ها فرض می‌شود: مثلاً دینامیک مذاب و تغییرات فازی در شبیه‌سازی‌ها (و نیز در این پژوهش) اغلب نادیده گرفته می‌شود، همچنین ماده، کاملاً ایزوتropیک فرض می‌شود که در واقعیت چنین نیست.
- ۲- اگرچه انتخاب خواص حرارتی و مکانیکی ماده از مقالات و منابع معتبر، مقداری خطا با خود به همراه دارد، ولی این کار یک روال معمول در شبیه‌سازی جوش است؛ زیرا آزمون‌های تجربی برای بدست آوردن خواص حرارتی (مانند گرمای ویژه، ضریب انبساط حرارتی و...) و مکانیکی اغلب وقت‌گیر و نیازمند امکانات و هزینه بسیار می‌باشد.
- ۳- درشت بودن اندازه مش در نقاط دورتر از خط جوش (به دلیل کم‌اهمیت بودن این نقاط و کاهش زمان شبیه‌سازی) می‌تواند باعث ایجاد مقداری خطا در نتایج حاصل از المان محدود در نقاط دورتر از خط جوش شود.
- ۴- احتمال وجود خطاهایی در آزمون پراش پرتو ایکس: یکی از خطاهای اجتناب‌پذیر نتایج پراش پرتو ایکس، عدم تشخیص دقیق موقعیت قله پیک پراش است، نرم‌افزارهای پراش پرتو ایکس، با عبور دادن توابع معروفی مانندتابع گوسین از الگوی پیک ظاهر شده، تقریب‌زنی پروفیل پیک، موقعیت نوک پیک و  $2\theta$  آن را تعیین می‌کنند که طبیعتاً با مقداری خطا همراه است. همچنین فیلتر نکردن دقیق اشعه، منجر به ایجاد اشعه‌ای با چندین طول موج به جای اشعه تک طول موج شده، محاسبات و تشخیص محل پیک را با خطا مواجه می‌کند. دقت خود روش پراش پرتو ایکس نیز، در

پسماند طولی در فاصله ۰ تا ۱۰ میلی‌متر از خط جوش (که بالاترین میزان تنش پسماند کششی در این فاصله از خط جوش داشت و خطرناک‌ترین منطقه از نظر شکست و خستگی محسوب می‌شد)، در اعماق مختلف، در گستره ۱۴۲ مگاپاسکال (عمق ۸ میلی‌متر) تا ۱۸۲ مگاپاسکال (عمق ۰ میلی‌متر) قرار داشت. در فاصله ۱۰ تا ۲۵ میلی‌متری از خط جوش مشاهده شد که بیشترین اختلاف مقدار تنش پسماند طولی در اعماق مختلف، در حدود ۷۰ مگاپاسکال بود که محل آن در ۱۵ میلی‌متری از خط جوش قرار داشت (در این نقطه، طبق جدول ۹، مقدار تنش پسماند طولی در بازه ۶۰ مگاپاسکال، در عمق ۸ میلی‌متر، تا ۱۳۱ مگاپاسکال، در عمق ۰ میلی‌متر، قرار دارد).

همچنین مشاهده شد، در فاصله ۲۵ تا ۵۰ میلی‌متری از خط جوش، بیشترین اختلاف مقدار تنش پسماند طولی در اعماق مختلف، در حدود ۸۰ مگاپاسکال بود که محل آن در ۵۰ میلی‌متری از خط جوش قرار داشت (در این نقطه، طبق جدول ۹، مقدار تنش پسماند طولی در بازه ۵-۵ مگاپاسکال، در عمق ۰ میلی‌متر تا ۸۴ مگاپاسکال، در عمق ۸ میلی‌متر قرار دارد). در شکل ۱۷ مشهود است که در فاصله ۲۰ میلی‌متری از خط جوش و بعد از آن، در عمق‌های بالاتر از ۳/۵ میلی‌متر، تنش‌های پسماند از نوع فشاری هستند؛ لذا این مناطق از نظر خستگی، رشد و ایجاد ترک ایمن می‌باشند. با توجه به توزیع تنش‌های پسماند در سطح و عمق، این امکان وجود دارد که با انجام ساقمه‌زنی در فاصله ۰ تا ۲۰ میلی‌متری

**جدول ۹- مقایسه‌ی نتایج تنش پسماند طولی به دست آمده در ۵ نقطه به فواصل مختلف از خط مرکزی جوش،**

#### در ۶ عمق مختلف

تنش پسماند طولی (MPa) در						فاصله از
عمق	عمق	عمق	عمق	عمق	عمق	خط جوش
mm	mm	mm	mm	mm	mm	mm
۱۴۴	۱۵۹	۱۷۳	۱۷۵	۱۷۶	۱۸۰	۰
۱۴۲	۱۴۷	۱۵۲	۱۷۰	۱۷۷	۱۷۸	۱۰
۶۰	۶۳	۶۷	۸۴	۱۰۳	۱۳۱	۱۵
-۱۰	-۹/۵	-۳	۱۵	۲۷	۴۱	۲۰
-۳۳	-۲۷	-۲۲	۱	۱۵	۲۷	۳۵
-۸۴	-۷۶	-۶۷	-۴۰	-۲۳	-۵	۵۰

- ۱- شبیه‌سازی انجام شده در این پژوهش، قادر به پیش-بینی پروفیل و شکل نمودار تنش پسماند و نیز مقادیر آن در راستای عمق قطعه است. در جریان مقایسه نتایج شبیه‌سازی با نتایج پراش پرتو ایکس، اعتبار شبیه‌سازی انجام شده تایید گردید. در این اعتبارسنجی، بهترین تطابق نتایج در نقطه روی خط جوش مشاهده گردید. اختلاف نتایج دو روش برای این نقطه، در حد  $7/5$  مگاپاسکال (معادل  $4$  درصد) بود. در فواصل دورتر از خط جوش، اختلافی در حد  $13/7$  مگاپاسکال مشاهده گردید که نسبت به تنش تسلیم فلزپایه مقدار کوچکی محسوب می‌شد.
- ۲- پس از به‌دست آمدن توزیع تنش پسماند طولی در عمق قطعه مشاهده شد که این تنش‌ها تا فاصله  $10$  میلی-متری از خط جوش و در راستای ضخامت، تا عمق  $2/5$  میلی‌متر، دارای مقادیر ثابتی بودند، ولی در اعمق بیشتر، اختلاف مقادیر تنش پسماند افزایش یافت. توزیع تنش‌های پسماند طولی در فاصله  $0$  تا  $10$  میلی‌متری از خط جوش، در گستره  $14/2$  مگاپاسکال (عمق  $8$  میلی‌متر) تا  $18/2$  مگاپاسکال (سطح قطعه) قرار داشت. در دو فاصله  $10$  تا  $25$  میلی‌متری و  $25$  تا  $50$  میلی‌متری از خط جوش، بیشترین اختلاف مقدار تنش پسماند طولی در اعمق مختلف، به ترتیب در حدود  $70$  و  $80$  مگاپاسکال بود. مشاهده شد که در فاصله  $20$  میلی‌متری از خط جوش و دورتر از آن، در اعمق بیشتر از  $3/5$  میلی‌متر، تنش‌های پسماند از جنس فشاری بودند؛ لذا این مناطق از نظر خستگی، رشد و ایجاد ترک، اینم بودند. همچنین شبیه‌سازی گویای آن بود که با افزایش عمق، مقدار تنش‌های پسماند کششی، کاهش و مقدار تنش-های پسماند فشاری تا مقدار زیادی افزایش یافت که در مناطق دورتر از فلز جوش قابل مشاهده بود.

## ۶- مراجع

- [1] Ueda Y, Yamakawa T (1971) Analysis of thermal elastic-plastic stress and strain during welding by finite element method. Trans JWRI 2(2): 186-196.
- [2] Goldak J, Oddy A, Gu M, Ma W, Mashaie A, Hughes E (1992) Coupling heat transfer, microstructure evolution and thermal stress analysis in weld mechanics. Mechanical Effects of Welding, ed: Springer: 1-30.
- [3] Yajiang L, Juan W, Maoai C, Xiaoqin S (2004) Finite element analysis of residual stress in the

اندازه‌گیری تنش پسماند در حدود  $20$  مگاپاسکال است [۳۴].

۵- در روش پراش پرتو ایکس، قطر اشعه تابیده شده بر سطح قطعه  $5$  میلی‌متر بود؛ لذا روش پراش پرتو ایکس، میانگین تنش پسماند را در این محدوده می‌سنجدید، حال آن‌که در روش شبیه‌سازی، تنش پسماند در گره‌ها یا نقاط مدل بدست می‌آید؛ لذا وجود مقداری خط، اجتناب ناپذیر بود. توجه شود که همه روش‌های تجربی اندازه‌گیری تنش پسماند، در یک محدوده کوچک معنی از مساحت قطعه، میانگین مقدار تنش پسماند را در آن محدوده بدست می‌دهند و این ویژگی فقط مختص روش تجربی پراش پرتو ایکس نیست. با این وجود در مقالات، بارها برای اعتبارسنجی تنش پسماند حاصل از مدل‌سازی جوش‌کاری، از روش پراش پرتو ایکس استفاده شده است؛ مانند پژوهش [۳۵].

۶- اگرچه بعد از جوش‌کاری، گرده‌ی کوچکی به ارتفاع  $0$  میلی‌متر پدید آمد که با استفاده از سنباده‌زنی نرم (که تولید تنش پسماند مازاد نمی‌کرد)، این گرده با سطح ورق، همارتفاع شد تا از تفرق ناخواسته پرتو ایکس جلوگیری شود، ولی حذف همین گرده کوچک نیز می‌تواند مقدار کمی از تنش پسماند جوش‌کاری را آزاد کند. البته برای اندازه‌گیری تنش پسماند در موضع خط جوش با روش‌های تجربی اندازه-گیری تنش پسماند (مانند التراسونیک، پراش پرتو ایکس و سوراخ‌کاری)، حذف گرده جوش اجتناب ناپذیر است و در مراجع جدیدی مانند [۱۵] و [۲۰] نیز این کار انجام شده است و با وجود حذف گرده‌های بزرگ‌تر از گرده پژوهش حاضر، باز هم تطابق خوبی بین نتایج تجربی و شبیه‌سازی تنش پسماند مشاهده شده است.

## ۵- نتیجه‌گیری

در پژوهش حاضر، از تلفیق روش شبیه‌سازی المان محدود و روش تجربی پراش پرتو ایکس به منظور اندازه‌گیری تنش پسماند در عمق قطعه استفاده شد. در واقع، پس از صحه-سنگی نتایج شبیه‌سازی با پراش پرتو ایکس در مسیری معین واقع بر سطح قطعه، نمودار توزیع تنش پسماند طولی جوش‌کاری در چند عمق مختلف، با استفاده از شبیه‌سازی بدست آمد. از پژوهش حاضر، نتایج زیر بدست آمد:

- [16] Steuwer A, Peel MJ, Withers PJ (2006) Dissimilar friction stir welds in AA5083-AA6082: the effect of process parameters on residual stress. *Mater Sci Eng A* 441(1): 187-196.
- [17] Masubuchi K (1980) Analysis of welded structures: Residual stresses, distortion, and their consequences. 1st edn. Elsevier 33.
- [18] Eftekhari M (2014) Simulation of longitudinal residual stress in welded austenitic stainless steel plates and evaluation with x-ray diffraction and ultrasonic methods. MSc Thesis, Mechanical Engineering, Amirkabir University, Tehran, Iran. (In Persian)
- [19] Park DH, Choi SW, Kim JH, Lee JM (2015) Cryogenic mechanical behavior of 5000-and 6000-series aluminum alloys: Issues on application to offshore plants. *Cryogenics* 68: 44-58.
- [20] Javadi Y, Akhlaghi M, Najafabadi MA (2013) Using finite element and ultrasonic method to evaluate welding longitudinal residual stress through the thickness in austenitic stainless steel plates. *Mater Des* 45: 628-642.
- [21] Sadeghi S, Najafabadi MA, Javadi Y, Mohammadisefat M (2013) Using ultrasonic waves and finite element method to evaluate through-thickness residual stresses distribution in the friction stir welding of aluminum plates. *Mater Des* 52: 870-880.
- [22] AWS Standard D1.6/D1.6M (2003) American Welding Society, Structural Welding Code - Aluminum, An American National Standard.
- [23] Jalili N (2014) Investigation of heat transfer in friction stir welding process with cooling flux. MSc Thesis, Mechanical Engineering, Amirkabir University, Tehran, Iran. (In Persian)
- [24] Hasani M (2013) Evaluation of welding residual stress in austenite stainless steel using LCR ultrasonic waves. MSc Thesis, Mechanical Engineering, Amirkabir University, Tehran, Iran. (In Persian)
- [25] Karimnia V, Sattari-Far I (2015) Investigating the influence of effective parameters on the residual stresses in circumferentially arc welded thin walled cylinders of aluminum alloy series 5000. Modares Mechanical Engineering 15(3): 377-386. (In Persian).
- [26] Pradip D, Joshi Y, Franche C (1994) Determination of gas tungsten arc welding efficiencies. *Exp Therm Fluid Sci* 9(1): 80-89.
- [27] Deng D, Murakawa H (2008) Prediction of welding distortion and residual stress in a thin plate butt-welded joint. *Comput Mater Sci* 43(2): 353-365.
- [28] Jiang W, Zhang Y, Woo W (2012) Using heat sink technology to decrease residual stress in 316L welded zone of a high strength steel. *Bull Mater Sci* 27(2): 127-132.
- [4] Song J, Peters J, Noor A (2003) Sensitivity analysis of the thermomechanical response of welded joints. *Int J Solids Struct* 40(16): 4167-4180.
- [5] Branza T, Duchosal A, Fras G, Deschaux-Beaume F, Lours P (2004) Experimental and numerical investigation of the weld repair of superplastic forming dies. *J Mater Process Technol* 155: 1673-1680.
- [6] Nandan R, Roy G, Lienert T, DebRoy T (2006) Numerical modelling of 3D plastic flow and heat transfer during friction stir welding of stainless steel. *Scie Technology Weld Joining* 11(5): 526-537.
- [7] Alberg H, Berglund D (2003) Comparison of plastic, viscoplastic, and creep models when modelling welding and stress relief heat treatment. *Comput Methods Appl Mech Eng* 192(49): 5189-5208.
- [8] Fricke S, Keim E, Schmidt J (2001) Numerical weld modeling a method for calculating weld-induced residual stresses. *Nucl Eng Des* 206(2): 139-150.
- [9] Mabelly P, Bourges P, Pont G (2001) Effect of metallurgical transformations on weld residual stresses application to E690 steel grade. *Mar Struct* 14(4): 553-567.
- [10] Barroso A, Canas J, Picon R, Paris F, Mendez C, Unanue I (2010) Prediction of welding residual stresses and displacements by simplified models. Experimental validation. *Mater Des* 31(3): 1338-1349.
- [11] Fachinotti VD, Anca AA, Cardona A (2011) Analytical solutions of the thermal field induced by moving double ellipsoidal and double elliptical heat sources in a semi infinite body. *Int J Numer Method Biomed Eng* 27(4): 595-607.
- [12] Shugen X, Wang W, Chang Y (2014) Using FEM to predict residual stresses in girth welding joint of layered cylindrical vessels. *Int J Press Vessels Pip* 119: 1-7.
- [13] Stamenkovic D, Peric M (2011) Determination of Residual Stresses in Welded Pipes Using a Simplified Heat Source. *Rev Sci Tech* 61(1): 12-16.
- [14] Fanous IF, Younan MY, Wifi AS (2002) 3-D finite element modeling of the welding process using element birth and element movement techniques. *ASME Pressure Vessels Piping Div Publ PVP* 442: 165-172.
- [15] Javadi Y (2012) Residual Stress Evaluation through Thickness of an Austenitic Stainless Steel Welded Joint by using Ultrasonic Technique. PhD Thesis, Mechanical Engineering, Amirkabir University, Tehran, Iran. (In Persian)

- [32] Pecharsky V, Zavalij P (2009) Fundamentals of powder diffraction and structural characterization of materials. 2nd edn. Springer 69, New York.
- [33] Fitzpatrick M, Fry A, Holdway P, Kandil F, Shackleton J, Suominen L (2005) Determination of residual stresses by X-ray diffraction. p. 45.
- [34] Schajer GS (ed). (2013) Practical Residual Stress Measurement Methods. 1st edn. Wiley.
- [35] Akbari S, Miresmaeli R (2008) Experimental and numerical analyses of residual stress distributions in TIG welding process for 304L stainless steel. *J Mater Process Technol* 208(1): 383-394.
- stainless steel welding joint: Finite element simulation. *Int J Press Vessels Pip* 92: 56-62.
- [29] Eftekhari M, Najafabadi MA (2015) Evaluation of the Capability of Ultrasonic Method for Measuring Longitudinal Welding Residual Stress, by Validating with X-Ray Diffraction Method. *Modares Mechanical Engineering* 15(9): 1-10. (In Persian)
- [30] Hauk V (1977) Structural and residual stress analysis by nondestructive methods: Evaluation-Application-Assessment. Elsevier.
- [31] Hilly ME (1971) Residual stress measurement by X-ray diffraction. *SAE J784a*, Society of Automotive Engineers, Warrendale, PA: 19.

Archive of SID